

中重核 14.5MeV $(n, 2n)$, $(n, 3n)$ 反应 截面的系统学计算*

姚立山 周恩臣 蔡敦九 吉世印**

(兰州大学) (中国原子能科学研究院,北京)

摘要

本文从中子核反应机制出发,讨论 $(n, 2n)$, $(n, 3n)$ 反应过程,给出约化截面的计算公式。按照系统学方法计算 $z = 58-83$ 的 53 个中重核的 14.5MeV $(n, 2n)$, $(n, 3n)$ 反应截面,计算结果与实验值符合较好。

一、引言

14MeV 中子引起的 $(n, 2n)$, $(n, 3n)$ 反应直接影响聚变、裂变系统的源中子倍增, 易裂变材料的再生, 中子通量的分布以及剩余核的放射性等, 是核工程应用中重要的反应之一。研究这类反应用于核能开发具有重要的意义。

由于核反应截面理论计算的局限性, 实验数据的测量又受到条件的限制——一些核素的截面不可测量或不能测准, $N-z$ 系统学研究在某些方面是对上述方法不足之处的重要补充。1965 年 S. Pearlstein^[1] 首先从复合核统计模型出发, 研究 14MeV 中子 $(n, 2n)$ 反应截面系统学, 其结果与实验值符合较好, 表明这种方法的可行性。其后, Wen-deh Lu^[2,3], E. Kondaiah^[4], M. Segev^[5,6] 等人又做了大量的研究工作, 使系统学参数得到不断改进。本文从中子诱发反应机制出发, 给出 $(n, 2n)$, $(n, 3n)$ 反应的约化截面 $R_m(E)$ 的公式, 并用一套新的系统学参数计算 14MeV $(n, 2n)$, $(n, 3n)$ 反应截面, 与实验值和前人工作进行比较, 得到满意的结果。

二、中子反应截面系统学

1. 系统学评价方法

通常在系统学研究中, 中子反应截面的公式可表示为如下的形式:

$$\sigma_{n,mn} = \sigma_{ne} \times (\sigma_{n,M}/\sigma_{ne}) \times (\sigma_{n,mn}/\sigma_{n,M}) \quad (m = 2, 3, \dots) \quad (1)$$

本文 1987 年 2 月 21 日收到。

* 核工业部核电局资助项目。

** 现为在校研究生。

其中, σ_{nc} ——去弹性散射截面, 是靶核质量数 (A) 的函数, 与入射中子能量 (E) 无关, 由 Flerov^[7] 给出的半经验公式:

$$\sigma_{nc} = \pi(0.12A^{1/3} + 0.21)^2 \quad (2)$$

确定。

归一化因子与相对过剩中子数 $(N - z)/A$ 的关系服从指数规律^[8]:

$$\sigma_{n,M}/\sigma_{nc} = 1 - k \exp\left(-m \frac{N - z}{A}\right) \quad (3)$$

在工作[9]中, 我们用中子核数据评价的方法, 对于大量的 $(n, 2n)$ 反应截面实验结果进行处理。利用最小二乘法拟合评价后的实验值得到归一化因子中的两个参数 $k = 1.362$, $m = 9.836$ 。拟合结果示于图 1。

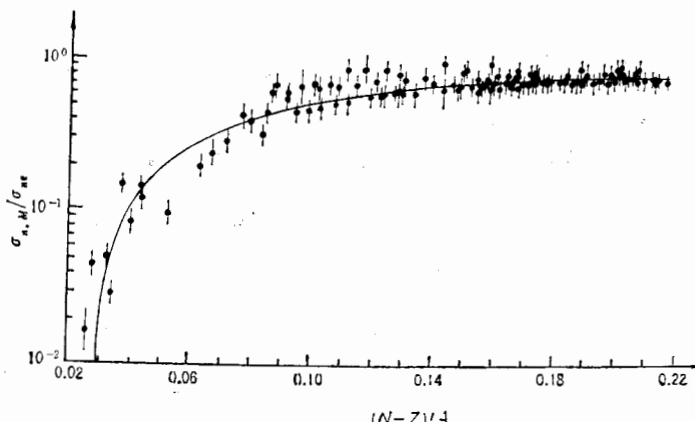


图 1 $\sigma_{n,M}/\sigma_{nc} \sim (N - z)/A$ 拟合曲线

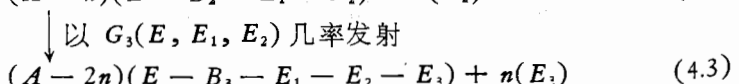
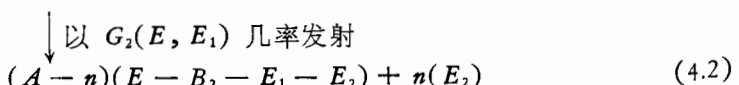
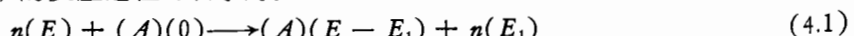
$$K = 1.362 \quad M = 9.836$$

$\sigma_{n,mn}/\sigma_{n,M}$ —(n, mn) 反应的截面与所有可能发射中子的反应截面 $\sigma_{n,M}$ 的比值, 定义为约化截面 $Rm(E)$; 它可由核能级密度和次级中子能谱的知识求得。

2. 约化截面 $Rm(E)$ 的推导

在快中子与中等和重质量核的反应中, 由于较多的过剩中子数和较高的库仑势垒使出射带电粒子的反应如 (n, p) 等发生的几率很小, 辐射俘获截面也可略去不计, 因此可认为发射次级中子是核反应的主要过程。

令 $n(E)$ 表示能量为 E 的入射中子, $(A)(U)$ 表示激发能为 U 、质量数为 A 的核, $(n, 2n)$ 和 $(n, 3n)$ 的反应过程可表示为:



其中, B_m 是 A 核最后第 m 个中子的分离能, E_m 是发射第 m 个中子的能量, G_m 为发射第 m 个中子的分支比 ($m = 1, 2, 3$)。反应的能量限制规则为:

$$\left. \begin{array}{ll} E_1 < W_1, & W_1 \equiv E \\ E_2 + E_1 < W_2, & W_2 \equiv \text{Max}(0, E - B_2) \\ E_3 + E_2 + E_1 < W_3, & W_3 \equiv \text{Max}(0, E - B_3) \end{array} \right\} \quad (5)$$

W_m 为 (n, mn) 反应中, 中子获得的最大能量。

定义 $P_m(W_m, E \rightarrow E_m) \equiv P_m(E \rightarrow E_m)$ 为发射能量是 E_m 的第 m 个中子在 $(0 \sim W_m)$ 范围内归一化的能量分布函数。在 $E < B_4$ 情况下, 约化截面的一般表达式为:

$$R_2(E) = \int_{W_3}^{W_2} P_1(W_1, E \rightarrow E_1) G_2(E, E_1) dE_1 + \int_0^{W_3} P_1(W_1, E \rightarrow E_1) G_2(E, E_1) \\ \times \left[\int_{W_3-E_1}^{W_3} P_2(W_2, E \rightarrow E_2) G_3(E, E_1, E_2) dE_2 \right] dE_1, \quad (6.1)$$

$$R_3(E) = \int_0^{W_3} P_1(W_1, E \rightarrow E_1) G_2(E, E_1) \\ \times \left[\int_0^{W_3-E_1} P_2(W_2, E \rightarrow E_2) G_3(E, E_1, E_2) dE_2 \right] dE_1. \quad (6.2)$$

若不考虑非复合核成份的贡献^[8], 则发射第一个中子的能量分布函数为:

$$P_1(E \rightarrow E_1) \propto E_1 \exp(2\sqrt{\alpha_A(E - E_1)}), \quad (7)$$

式中 α_A 取值范围一般在 $(3 \sim 10)\text{MeV}^{-1}$ 之间。因此 $P_1(E \rightarrow E_1)$ 的分布主要在低能端, 即 $E_1 \ll E$ 时几率较大。发射第二个中子的分布可以表示为第一个中子能量分布的积分:

$$P_2(E \rightarrow E_2) \propto \int_0^{W_2-E_2} dE_1 P_1^{(A)}(E, E \rightarrow E_1) \times P_1^{(A-1)}(W_2 - E_1, W_2 - E_1 \rightarrow E_2), \quad (8)$$

其中 $P_1^{(A)}(E \rightarrow E_1)$ 表示实际的第一个中子的能量分布, 而 $P_1^{(A-1)}(W_2 - E_1 \rightarrow E_2)$ 则表示公式(4.2)中发射中子的能量分布, 是用等效的第一个中子的能量分布表示 $P_2(W_2 - E_1 \rightarrow E_2)$ 的发射。

可以认为, 只要满足能量限制规则, 中子发射总是可能的, 而且总比其它释放能量的方式优先。考虑到发射带电粒子及 (n, γ) 的反应截面都可忽略, 于是有 $G_2 = G_3 = 1$, 则公式(6.1)(6.2)可化简成:

$$R_2(E) = \int_{W_3}^{W_2} P_1(W_1, E \rightarrow E_1) dE_1 + \int_0^{W_3} P_1(W_1, E \rightarrow E_1) \\ \times \left[\int_{W_3-E_1}^{W_3} P_2(W_2, E \rightarrow E_2) dE_2 \right] dE_1, \quad (9.1)$$

$$R_3(E) = \int_0^{W_3} P_1(W_1, E \rightarrow E_1) \times \left[\int_0^{W_3-E_1} P_2(W_2, E - E_2) dE_2 \right] dE_1. \quad (9.2)$$

对 $P_1(E \rightarrow E_1)$, 因为分布集中在低能端, 在 $E_1 \ll E$ 情况下, 对公式(7)右边括号内的项进行展开有

$$P_1(E \rightarrow E_1) \propto E_1 \exp \left[-\left(\frac{\alpha_A}{E}\right)^{1/2} E_1 \right], \quad (10)$$

对 $P_2(E \rightarrow E_2)$, 公式(8)的积分上限 $(W_2 - E_2)$ 可扩展到 ∞ ; $P_1^{(A)}(E \rightarrow E_1)$ 是一个相当窄的分布函数, 近似地可用 $\delta(E - \langle E_1 \rangle)$ 函数代替。作上述的简化和近似后, 得到发射第一、第二个中子的能量分布函数表达式分别为:

$$P_1(W_1, E \rightarrow E_1) = \frac{1}{\theta_1^2} E_1 \exp(-E_1/\theta_1), \quad (11.1)$$

$$P_2(W_2, E \rightarrow E_2) = \frac{1}{\theta_2^2} E_2 \exp(-E_2/\theta_2). \quad (11.2)$$

其中,

$$\theta_1 = (E/\alpha_A)^{1/2}, \quad \theta_2 = \left(\frac{E - B_2 - 2\theta_1}{\alpha_{A-1}} \right)^{1/2} \quad (12)$$

将公式 (11.1) (11.2) 分别代入到公式 (9.1) 和 (9.2) 中, 积分后可得:

$$\begin{aligned} R_2(E) = & -(1 + \chi_{21}) \exp(-\chi_{21}) + (1 + \chi_{31}) \exp(-\chi_{31}) \\ & + \frac{1}{2} (\chi_{21})^2 \left(1 + \frac{1}{3} \chi_{32} \right) \exp(-\chi_{32}), \end{aligned} \quad (13.1)$$

$$\begin{aligned} R_3(E) = & 1 - (1 + \chi_{31}) \exp(-\chi_{31}) \\ & - \frac{1}{2} (\chi_{31})^2 \left(1 + \frac{1}{3} \chi_{32} \right) \exp(-\chi_{32}), \end{aligned} \quad (13.2)$$

不难看出,

$$R_1(E) = (1 + \chi_{21}) \exp(-\chi_{21}). \quad (14)$$

上列式中:

$$\chi_{21} = W_2/\theta_1, \quad \chi_{31} = W_3/\theta_1, \quad \chi_{32} = W_3/\theta_2 \quad (15)$$

从公式 (13.1), (13.2) 可以看出, 当 $E > B_2$ 并且继续增加时, $R_2(E)$ 逐渐上升趋近于 1, 在接近 B_3 时, $R_2(E)$ 达到饱和; 而当 $E \geq B_3$ 时, $R_2(E)$ 开始下降, $R_3(E)$ 单调上升。这正反映了 $(n, 2n)$ 和 $(n, 3n)$ 反应截面激发函数形状变化的相对关系。

按照公式 (1), $(n, 2n)$ 和 $(n, 3n)$ 反应截面可分别表示为:

$$\sigma_{n,2n} = \sigma_{nc} \times (\sigma_{n,M}/\sigma_{nc}) \times R_2(E), \quad (16.1)$$

$$\sigma_{n,3n} = \sigma_{nc} \times (\sigma_{n,M}/\sigma_{nc}) \times R_3(E). \quad (16.2)$$

式中, σ_{nc} 由公式 (2) 给出; $\sigma_{n,M}/\sigma_{nc}$ 中的 k, m 参数我们在工作 [10] 中已经求得; $R_2(E), R_3(E)$ 由公式 (13.1)、(13.2) 进行计算。公式中所涉及的核结构参数均可由核数据表中查到。

三、计算结果及分析

利用公式 (16.1), (16.2) 分别计算了 $E = 14.5$ MeV 的 53 个中重核的 $(n, 2n)$, $(n, 3n)$ 反应截面(图 2), 并与 Pearlstein 方法计算结果^[9]进行比较。从图 2 的比较可以看出:

1. 计算的 53 个核素中, 大多数核 $E < B_3$, $(n, 3n)$ 反应不存在。本文计算的 $(n, 2n)$ 反应截面值与工作^[9]的结果比较基本符合, 这与两种方法都是以复合核统计模型为理论基础相一致的。

2. 与实验结果的权重平均值 $\bar{\sigma}_{n,2n}$ 比较, 当 $E < B_3$ 时, 二者的偏差在 10% 范围内有 70% 以上的核符合较好。因此可用这种方法计算一些核的 $(n, 2n)$ 反应截面。

3. $E > B_3$ 时, 计算了 $(n, 3n)$ 反应截面。这时由于 $(n, 3n)$ 竞争反应的存在使 $(n, 2n)$ 反应截面 $\sigma_{n,2n}$ 趋于减小。但在工作[9]中由于未扣除这部分的影响, 因此在图 2 中它的 $\sigma_{n,2n}$ 值位于本工作计算结果之上。

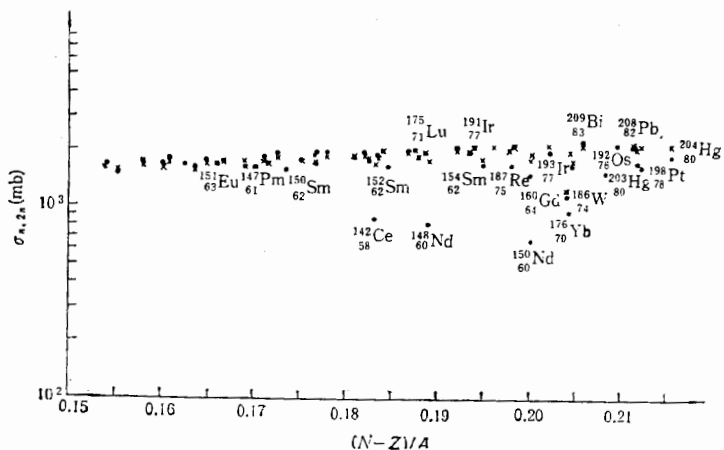


图 2 与工作[9]结果的比较
×工作[9]计算结果 ●本工作结果

四、小结

1. 总之, 我们的计算结果与实验值符合较好, 说明 14MeV 中子引起的核反应主要通过复合核发射中子的衰变方式, 那么利用 $(n, 2n)$ 、 $(n, 3n)$ 反应截面系统学计算公式(16.1)、(16.2)可以较好地估算一些尚未测量或难于测量的核素的 $\sigma_{n,2n}$ 、 $\sigma_{n,3n}$ 值。

2. 本工作用 14.5MeV 中子的 $(n, 2n)$ 反应截面实验数据的拟合^[9]代替文献[5]中由一个或两个能点的平均值来确定归一化因子 $\sigma_{n,M}/\sigma_{n,e}$ 的方法, 使计算结果更符合实际情况。与 Pearlstein 方法^[1]比较也更为简单些。

3. 系统学计算公式仅与靶核的一些结构参数有关, 不受有无实验能点的限制, 原则上可计算任何核的 $(n, 2n)$ 、 $(n, 3n)$ 反应截面; 如果考虑较宽能区的实验数据拟合, 还可计算反应截面的激发函数。因此本文中的方法较之 Segev^[5] 的方法具有更广泛的应用性。

4. 进一步的工作应包括平衡前发射和直接反应; 除发射中子外, 其它复合核衰变的分支比如带电粒子发射、辐射俘获及裂变反应也应给予考虑。

参 考 文 献

- [1] S. Pearlstein, *Nucl. Sci. and Eng.*, 23(1965), 238.
- [2] Wen-deh Lu et al., *Phys. Rev.*, C-1(1970), 350.
- [3] Wen-deh Lu et al., *Phys. Rev.*, C-4(1971), 1173.
- [4] E. Kondaiah, *J. Phys.*, A-7(1974), 1457.
- [5] M. Segev et al., *Annals of Nucl. Energ.*, 5(1978), 239.
- [6] M. Segev et al., *Annals of Nucl. Energ.*, 7(1980), 577.
- [7] N. N. Flerov et al., *J. Nucl. Energ.*, 4(1957), 529.

- [8] D. W. Barr et al., *Phys. Rev.*, **123**(1961), 859.
 [9] L. Yao et al., *Proc. Int. Conf. on Nucl. Data for Basic and Applied Science, Santa Fe, New Mexico, U.S.A.* 13--17 May P257(1985).
 姚立山等, 高能物理与核物理, **11**(1987), 533.

THE SYSTEMATIC CALCULATIONS OF $(n, 2n)$ AND $(n, 3n)$ REACTION CROSS SECTIONS FOR MEDIUM-HEAVY NUCLEI AT 14.5 MeV

YAO LISHAN

(Lanzhou University, Lanzhou)

ZHOU ENCHEN CAI DUNJIU JI SHIYIN

(Institute of Atomic Energy, Beijin)

ABSTRACT

The $(n, 2n)$ and $(n, 3n)$ reaction processes have been studied by mechanism analysis of the neutron-induced nuclear reactions, formulae for evaluating the reduced cross section have been given. The cross sections of 14.5 MeV $(n, 2n)$, $(n, 3n)$ reactions have been calculated according to the systematic method for $Z=58-83$ about 53 nuclei. A good agreement between the results of the systematic calculations and the experimental data has been reached.